

鶴川海岸における海浜地形について

THE BEACH PROFILE AT THE MUKAWA COAST

戸巻昭三¹・柏葉導徳²・竹沢三雄³・後藤浩⁴

Shozo TOMAKI, Mitinori KASIBA, Mitsuo TAKEZAWA and Hiroshi GOTOH

¹正会員 博士(工学) 株式会社クマシロシステム設計(〒060-0807 札幌市北区北7条西2丁目8)

²正会員 北海道網走土木現業所(〒093-8670 網走市北7条西3丁目)

³フェローメンバ 工博 日本大学教授 理工学部土木工学科(〒101-8308 東京都千代田区神田駿河台1-8)

⁴正会員 博士(工学) 日本大学専任講師 理工学部土木工学科(〒101-8308 東京都千代田区神田駿河台1-8)

The change of beach profiles at the Mukawa Coast was considered by the overlap of soundings from 1994 to 1999 in this paper. The change of sediments divided into 12 small parts was compared with the wave climate at the Mukawa Coast and the discharge at the Mukawa River, and the form of sediment transport was shown by the Shields Number and the Cluster Analysis. Consequently, the beach profile of the Mukawa Coast was eroded on the whole from August in 1994 to February in 1999 by construction of the Mukawa fishing harbor.

Key Words :shoreline change, cluster analysis, form caused by sediment transport movement

1. はじめに

北海道南東部の太平洋に面する胆振・日高沿岸の鶴川漁港は、一級河川鶴川(流域面積 1,270km², 計画高流水量 3,600m³/s)の南東 2km に位置する。この鶴川漁港は第1種漁港で、1973年より建設が進められたが、漁港建設後急激に漁港の西側海岸の侵食が進み、鶴川河口砂州の規模が経年的に減少した。そのために、1994年8月から1999年2月までの間、年2回継続的に深浅測量が実施され、また1994年8月と1995年2月には底質粒径調査が行われた。

本論文は、鶴川漁港の位置する鶴川海岸の深浅測量調査から得られた地形の経年変化と底質粒径分布状況から、鶴川海岸における海浜変形について考察したものである。

2. 鶴川海岸の概要

(地形)

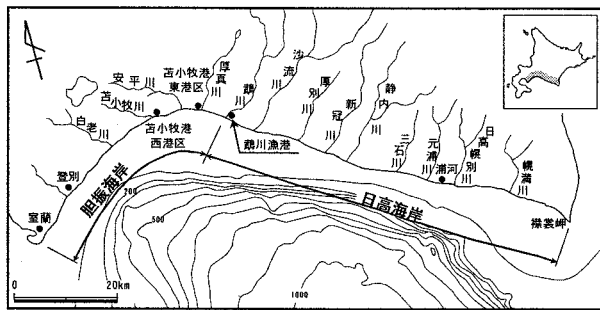


図-1 胆振・日高沿岸と鶴川海岸位置図

鶴川海岸は、図-1に示すように日高山脈が屹立して迫り、岩礁が広範囲に分布する日高沿岸¹⁾(延長130km)と、登別・室蘭付近に一部岩礁が見られるものの、おおむね砂浜をなす胆振沿岸(延長120km)との中間に位置する砂浜海岸で、その海岸線の法線は、ほぼ北西から南東方向へ直線的に延び、海底勾配は1/120の緩勾配を形成している。

(波浪)

図-2に示すように、鶴川海岸より北西10kmに位置する苦小牧港東港区における波浪観測(水深18.5m)から得られた波向別波高出現頻度分布²⁾によると、来襲する波向は、SSW~S方向が89%を占めるのに対し、 SSE 方向は僅か2.6%の出現率に過ぎない。また波高は、0.5~0.9m以下が47.4%, 1.5~1.9m以下が13.4%そして3.0m以上は僅か0.2%の出現率である。しかし、この0.2%の出現率を示す3.0m以上の波高には、鶴川海岸の最多波向S, SSWがそれぞれ0.1%づつ含まれている。

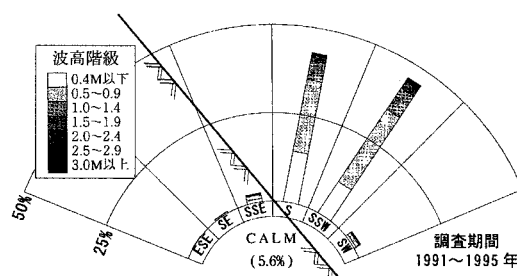


図-2 波向別波高出現頻度分布図(年間)

(流況)

沿岸流³⁾の卓越方向は、2月下旬から西向きに変化し、6~8月で最大になる。9月を過ぎると東向きに変化し、1月で最大になる。これらの転流は非常に緩やかであり、年間を通じての卓越方向は西向きが全体の3/4を占め、沿岸流の最大流速は50cm/s程度である。

(漂砂源)

鶴川海岸の漂砂源としては、図-3⁴⁾に示すように鶴川、沙流川を中心とした鶴川以東の諸河川からの流出土砂、特に新冠川からが多く、その土砂が西向きの沿岸流で鶴川海岸に運ばれてきているものと考えられる。

なお、図-3の凡例に示す○と●は、著者らが胆振・日高沿岸に存在する港湾と漁港の位置を記入したものである。

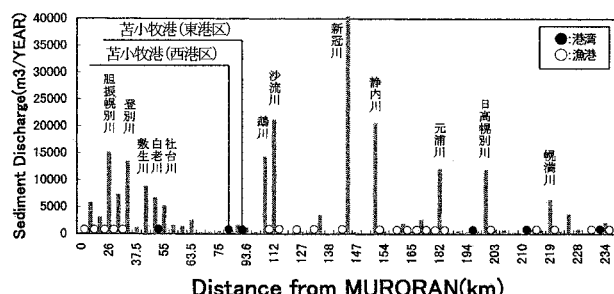


図-3 胆振・日高沿岸流入河川年供給土砂量⁴⁾

3. 汀線変化

(1) 現地調査

現地調査は、表-1に示す通り1994年8月から1999年2月までの約5ヶ年間にわたり、鶴川漁港と鶴川を中心とした沿岸方向5000m、岸沖方向2100mの調査範囲に51測線を設け深浅測量を行った。また1994年8月と1995年2月の2回、汀線、水深-3.0m、-6.0mおよび-9.0m付近における52地点の底質調査を行った。

(2) 航空写真と深浅測量図による汀線変化状況

1970年5月、1975年9月、1991年5月および1999年2月の深浅測量図から、汀線の変化を比較⁵⁾したのが図-4であり、また図-5は、鶴川漁港防波堤などの延伸経過を示したものである。

図-4に示すように、1947年の航空写真と1999年2月

表-1 現地調査の概要

深浅測量の範囲 沿岸×沖方向(m)	測線数	実測年	底質調査
5000×2100	51測線 (間隔100m)	1994年8月 1995年2月 1995年8月 1996年2月 1996年8月 1997年2月 1998年8月 1999年2月	1) 調査年月 1994年8月 1995年2月 1995年8月 1996年2月 1996年8月 1997年2月 1998年8月 1999年2月
細測箇所 鶴川漁港を中心 2000m×1100m	41測線 (間隔50m)	1996年8月 1997年2月 1999年2月	2) 底質採取地点数 汀線 19地点 -3m付近 17地点 -6m付近 10地点 -9m付近 6地点 計 52地点
	25測線 (間隔50m)	1998年8月	地 点

注) 底質調査地点は図-10に示す。

の深浅測量による汀線の変化⁵⁾の状況は、この50年間で鶴川漁港の東側海岸で250m汀線が前進し、鶴川左岸付近で140m汀線が後退している。また図-5に示すように、1975年までの漁港施設の建設により海岸の砂の連続性が絶たれ、鶴川漁港西側の汀線変化が始まり、さらにその後の鶴川漁港施設の伸長に伴って海浜の後退が認められるようになった。

(漁港の東側の汀線変化)

1947年から1975年9月まで大きな汀線変化はなかった。しかし、図-5に示されるように、1980年鶴川漁港に離岸堤が建設された。その結果、1991年5月には1970年5月の汀線より250m沖合に離岸堤端にトンボロが形成され、その3年後の1994年8月には離岸堤背後まで堆砂した。さらに、その土砂が離岸堤から沖合に伸長された南防波堤先端部まで達するようになり、汀線は1947年以来最大約250m前進した。

(漁港西側の汀線変化)

鶴川河口は、1975年9月の時点で1999年2月の位置より約600m沖合にあり、また鶴川左岸側の砂州は河川流量や入射波の影響もあって、河口の東側約2000mからの漂砂移動で形成されたものであった。

1985年に鶴川漁港南防波堤が概成し、また鶴川漁港の西側汀線付近の海岸は海岸護岸および消波堤の設置によって防護されていた。しかし、1991年頃より西側汀線付近がより一層後退し始めたので、新たに消波堤Eが建設されて鶴川漁港西側海岸は防護された。一方、鶴川の河口砂州は1975年当時より大きく後退し、さらに護岸施設のない鶴川左岸側の汀線もかなり後退した。

そのため、鶴川河口砂州の減少による河口周辺の干潟

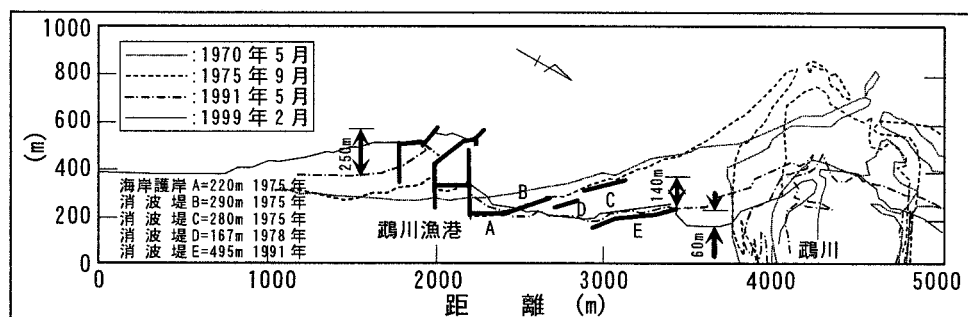


図-4 鶴川海岸汀線変化

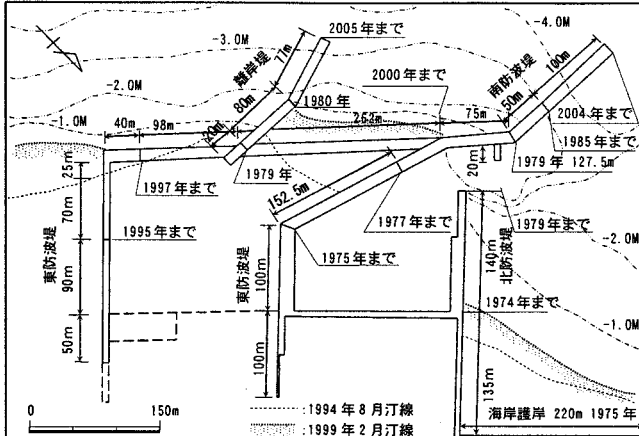


図-5 鶴川漁港防波堤等の延伸経過

環境は大きく変化し、渡り鳥の生息環境やシシヤモの自然産卵床に大きな影響をもたらすようになった。

なお、鶴川河口域は、1998年10月北海道により道設鳥獣保護区に設定されている。

4. 海浜断面地形変化

(1) Stable Point⁶⁾

表-1に示す現地調査のうち、1994年8月、1996年8月、1997年2月、1999年2月の深浅測量図から、測線1、測線12、測線31、測線41における海浜断面地形図を重ね合わせると図-6に示すようになる。

なお、測線1、12、31、41は、図-7の基線に示す測線1からの距離0m、1100m、3000m、4000mにおける岸沖方向の直線である。

すなわち、

①測線1は、この海岸の最東部の基線で鶴川漁港による影響が最も少ない。

②測線12は、西向きの沿岸漂砂が鶴川漁港の影響を受け始めようとする地点に相当する。

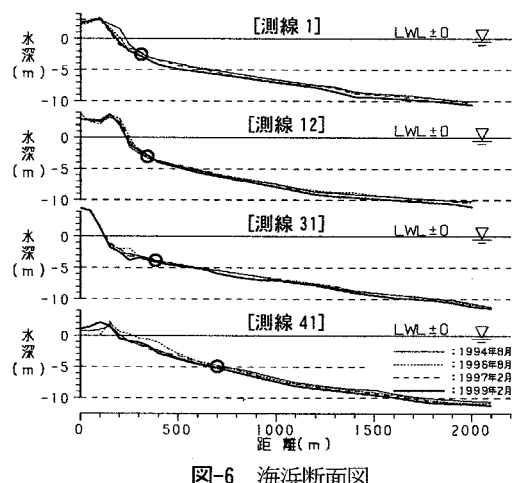


図-6 海浜断面図

③測線31は、鶴川漁港と鶴川河口砂州の中央部に相当する。

④測線41は、鶴川の左岸砂州移動の影響を受ける。

図-6および図-7から、海浜断面地形が安定する地点(stable point)⁶⁾は、測線1で-3.0m、測線12で-3.5m、測線31で-4.5m、測線41で-5.0mと、漁港から河口に近接するにつれて stable point の離岸距離が大きくなることが認められた。つまり、鶴川漁港の防波堤が3.0m以深まで伸長されているために、沿岸漂砂が遮断されたことになる。

(2) 小領域の地形変化

表-1に示す5000m×2100mの実測範囲を12領域に区分し、それぞれの領域についての地形変化特性を考察する。

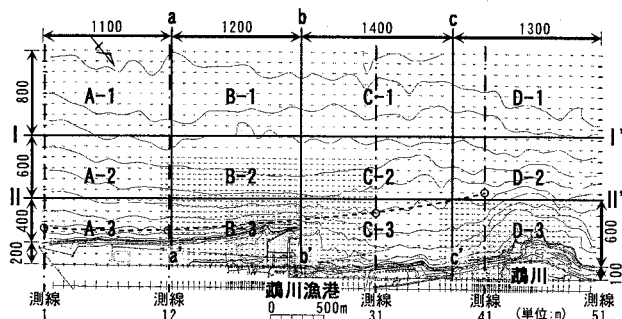


図-7 領域区分

図-7に示すように領域区分は、測線1において水深-8.0mと-5.0mをベースに、I-I'、II-II' lineに区分した。またa-a' lineは測線12であり、b-b' lineは鶴川漁港南防波堤先端部、c-c' lineは、鶴川左岸側河口砂州端で区分した。なお、a-a' lineは汀線の前進が始まった地点であり、b-b' lineは漂砂の移動が最も激しいと思われる地点、c-c' lineは砂州が最も侵食された地点である。

図-8(a), (b)は、1994年8月の深浅測量結果をベースに1999年2月までの、各々の領域での土砂量変化を比較をしたものである。また図-9は、深浅測量調査を行った前月(1月、7月)の鶴川の日平均流量⁷⁾と苦小牧港東港区波浪観測値の最大有義波高である。

図-8(b)から、D-1領域で侵食するのは、鶴川の大規模な河川流量に伴う流出土砂が、沿岸に沿って東方向のB-1領域まで移動したからと考えられる。そのため、図-8(a)に示すようにB-1領域は他の領域に比較してかなり多量の土砂が堆積したが、その堆積量も1999年2月の時点では1994年8月の結果に戻った。これは、鶴川の河川流量が長期間にわたり低水量が継続したからと考えられる。すなわち、図-8(a) (b)と図-9から、鶴川海岸の土砂量変化は、鶴川海岸に来襲する波浪や鶴川の日平均流量が多い時期などは、外力の変動に対応して土砂の堆積量や侵食量が一時的に大きな変化をもたらす要因となっているものと考えられる。さらに、鶴川海岸は全体的に侵食傾向にあることが図-8(a) (b)より認められる。

また漁港前面の領域B-3および漁港の上手側のA-3領域、下手側のC-3領域は、A-2、B-2、C-2領域よりも侵食の割合が少ないので、A-3領域、B-3領域、C-3領域の汀線付近が急勾配であるため、入射波の波高が小さくなるほど碎波点が岸に近寄り⁸⁾、底質移動は岸向きに転じてトラフを埋め戻し、海浜断面地形は図-6に示すようにflatになったからと考えられる。

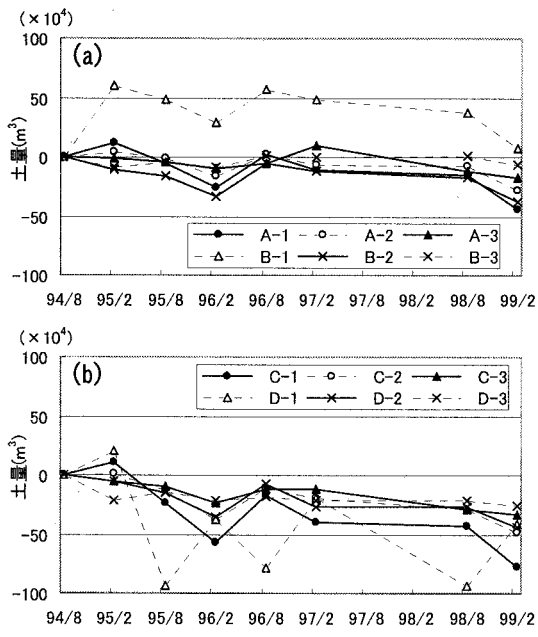


図-8 各領域における土量変化

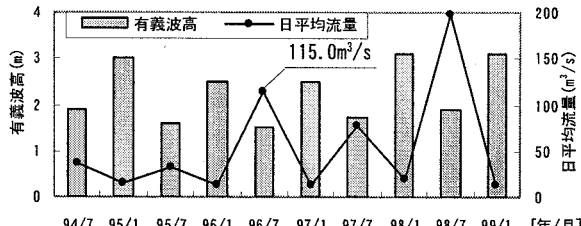


図-9 有義波高と鵠川の日平均流量

5. 鵠川海岸周辺の漂砂移動

(1) 底質調査と粒径分布

図-10は、鵠川海岸の底質土砂⁵⁾を1994年8月と1995年2月の2回にわたって、汀線、水深-3.0m、-6.0m、-9.0mの52地点において採取した底質土砂の採取位置と、領域区分図を重ね合わせて示したものである。

図-11は、1994年4月から1995年2月まで、鵠川で連続水位観測で得られた日平均流量の経時変化である。

また図-12(a), (b)は、底質中央粒径(d_{50})と底質を採取した水深の関係を示したもので、図中の数字は図-10に示す主な採取地点である。

図-12(a)においては、汀線付近に0.18~1.0mmの粗粒砂が分布し、また水深-9.0~10.0m付近の「河口沖合」にも0.1~0.6mmの粗粒砂が分布している。この「河口沖合」の粗粒砂は領域D-1(測点58~60)にも分布しており、

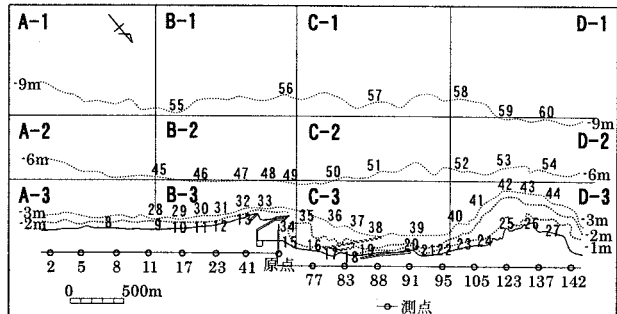


図-10 底質採取位置と領域区分図

土砂の粒径分布から推測すると、領域D-1(測点58~60)から領域C-1(測点57), 領域B-1(測点55, 56)へと移動しているものと考えられる。

1995年2月調査の図-12(b)においても同様の傾向が認められ、ある一定水深に底質粒径が分布する傾向になる。すなわち、鵠川河口からの排出土砂が多いときには、その土砂はD-1からC-1領域、さらにはB-1領域へと移動しているものと推定される。

この底質移動の状況は、苦小牧港東港区建設の海域調査において、鵠川から流出した底質を鉱物分析した結果¹⁰⁾、鵠川からの流出土砂がD-1領域からB-1領域へ移動し、そこに堆積しているという調査結果と一致する。

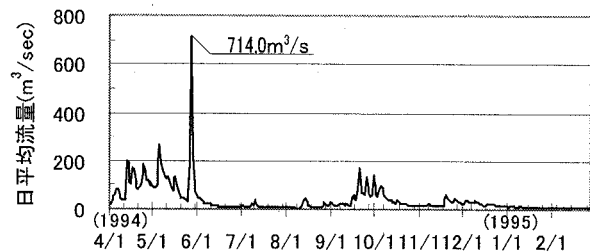
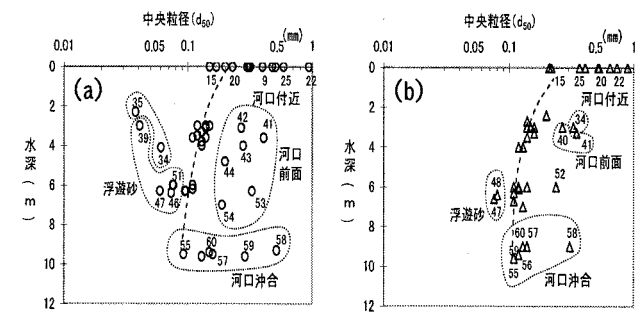


図-11 鵠川の日平均流量の経時変化



(1994年8月調査) (1995年2月調査)

図-12 底質中央粒径の沿岸・水深方向分布

(2) 底質の諸量を変量値としたクラスター分析

1994年8月と1995年2月に採取した底質から、水深-3.0m、-6.0m、-9.0m付近の33地点の中央粒径、密度、篩分係数を求め、それに波高、水深、海底勾配を加えた6つの変量値を用いてクラスター分析¹¹⁾を行い、底質の移動過程を検討した。

底質調査の1カ月前の苦小牧港東港区の波浪観測データのうち、7月調査の場合の最大有義波高 $H_{1/3}=2.0\text{m}$ と

その周期 $T_{1/3}=5.7\text{s}$, 1月調査の場合の最大有義波高 $H_{1/3}=3.1\text{m}$ とその周期 $T_{1/3}=7.4\text{s}$ から、各底質採取地点の水深(h)で発生するときの波高(H)を換算した。なお、波向きは汀線と直角方向であるSWとした。

以上の条件より、クラスター分析した結果が図-13(a), 図-14(a)の樹形図である。なお、図-13(a)の樹形図の切り分けにあたって、2.54の距離(図形における高さ)で切り分けたが、さらに4.0の距離で切ってクラスターの分類を多くした。同様な考え方で、図-14(a)の樹形図は0.66と5.35の距離で切り分けた。

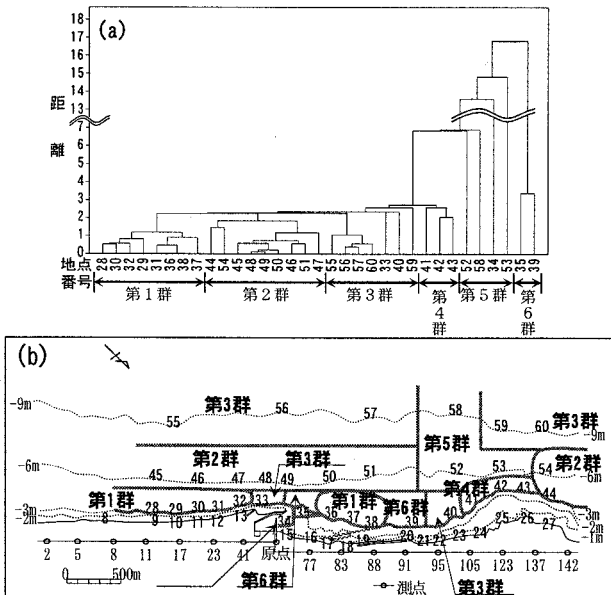


図-13 クラスター分析(1994年6月)

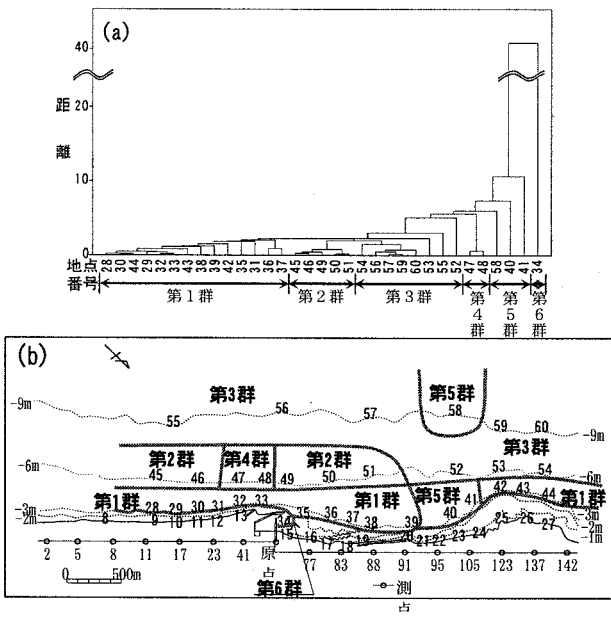


図-14 クラスター分析(1995年2月)

以上の結果から、図-13(b), 図-14(b)に示すように、第1群から第6群までの6群のクラスタ群に分類した。

(3) シールズ数(Ψ_m)と漂砂の移動形態

図-15(a), (b)は、1994年8月と1995年2月における底質採取地点のシールズ数(Ψ_m)と相対水深(h/d)の関係から、底質の移動形態¹²⁾の遷移条件をクラスター群と対比して示したものである。

ただし、シールズ数(Ψ_m)は

$$\Psi_m = \tau_{bm}/(s \rho gd) \quad (1)$$

ここで、 s :底質の水中比重、 ρ :水の密度、
 g :重力の加速度、 d :底質の中央粒径。

底面の最大せん断力 τ_{bm} は、

$$\tau_{bm} = f_\omega \rho u_{bm}^2/2 \quad (2)$$

ここで、 f_ω :海底摩擦係数で0.015

u_{bm} :海底面での流速振幅の最大値

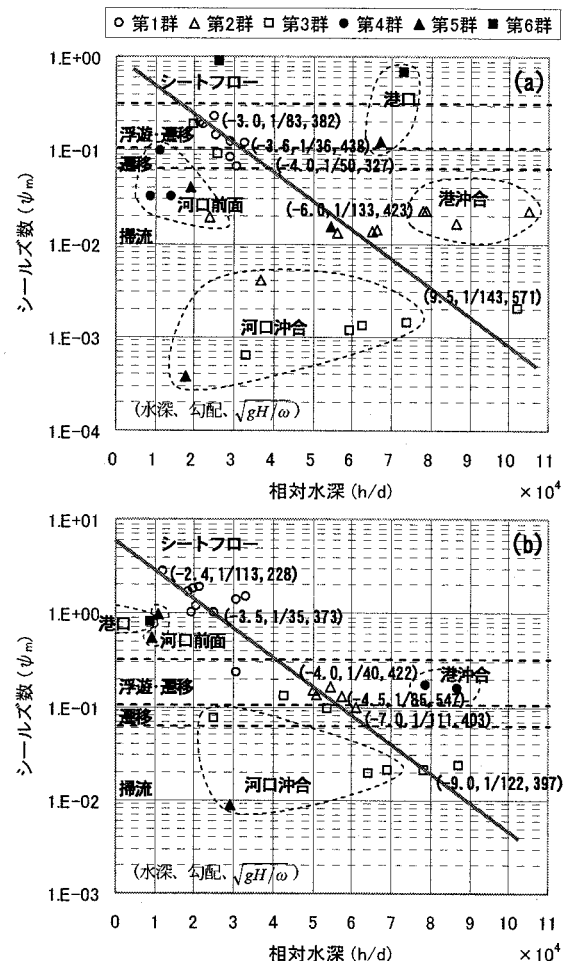


図-15 シールズ数と相対水深の関係

なお、波高(H)は先にクラスター分析を行った際の有義波高($H_{1/3}$)であり、図-15(a), (b)には底質採取地点の水深(h)、海底勾配および底質の浮遊しやすさを示す無次元沈降速度 \sqrt{gH}/ω ()に示した。ここで、 ω は砂の底質粒径 d_{50} の沈降速度である。

図-15(a), (b)から、 Ψ_m と h/d の関係は、図中に示した実線で示され、シールズ数と相対水深は反比例し、パラメータのクラスター群はシールズ数が大きい第1群から小さい第5群へと連続的に移行している。また、「河口沖合」の土砂は掃流移動、「河口前面」および「港沖合」

表-2 クラスター群と底質移動形態等の比較

底質採取地点	28	29	30	31	32	33	34	35	36	37	38	39	40	41	42	43	44	45	46	47	48	49	50	51	52	53	54	55	56	57	58	59	60
クラスター群	(a) 1994年 8月調査		1			3	5	6		1		6	3		4						2			5		2		3		5	3		
	(b) 1995年 2月調査		1			6		1			5		1			2		4		2			3			5	3						
底質の移動形態	(b)	シートフロー	浮遊・遷移	シートフロー	浮遊・遷移																												
	(a)	浮遊・遷移	遷移	浮遊・遷移	シートフロー	浮遊・遷移	シートフロー	浮遊・遷移	シートフロー	遷移	掃流	遷移																					
領域区分		B-3		C-3		D-3		B-2		C-2		D-2		B-1		C-1		D-1															

の土砂は掃流あるいは浮遊・遷移運動、港口の土砂はシートフローの移動をすることが明らかになった。

表-2は、クラスター群の分布、底質の移動形態さらに小領域区分における土量変化等について、1994年8月と1995年2月の調査を対比させ、総合的に評価したものである。

表-2より、「シートフロー」が存在するのは2月調査の測点34~44(小領域区分のB-3の一部、C-3、D-3)で、8月調査では採取地点35,39以外に「シートフロー」は存在しない。逆に「掃流」形態は、8月の調査範囲のほぼ半分の測点41,43~60(B-1, B-2, C-1, C-2, D-1, D-2, D-3の一部)に存在するが、2月調査時点では測点55~60(B-1, C-1, D-1)の限られた範囲だけである。

また「浮遊・遷移」となるのは、8月調査では測点28,31~34,36~38(B-3,C-3,D-3領域)であるが、2月調査では、測点29~33(B-3領域),45~54(B-2,C-2,D-2領域)である。すなわち、図-9に示される鵡川の日平均流量の経年変化が1月に比べて7月が多く、また図-11の鵡川の日平均流量の経時変化では1994年5月28日に急激に増大したことから、表-2に示された1994年8月調査時におけるB-2~D-2領域の底質は掃流状態で移動したものと考えられる。また、1995年2月調査時では1月の冬季風浪による高波浪が来襲したことからB-2~D-2領域の底質は、浮遊・遷移状態で移動したものと考えられる。さらに、水深9.0mの測点55,56,57,58,59,60(領域B-1,C-1,D-1)では、8月の調査及び2月の調査共に「掃流」で移動している。これは、鵡川から排出された土砂が鵡川沿岸に発生する沿岸流によって移動したものと考えられる。

7.むすび

以上の結果、以下のが明らかになった。

- 1) 沿岸漂砂の激しい地形変化の限界を示すstable pointは、鵡川漁港付近では-3.5~-4.5m、鵡川河口付近では-5.0mである。
- 2) 鵡川海岸全体を12の領域に区分した各領域の土量変化は、鵡川の河川流量と鵡川海岸に来襲する波浪によって支配されるが、この海岸の特性としては全

般的に侵食性の傾向がある。

3) 河川流量の影響が残存する8月と、同様に波浪の影響が残存する2月の調査結果から、マクロ的に水深-3.0~6.0mを境界にして、2月調査の場合、岸側は「シートフロー」、沖側は「浮遊・遷移」等による底質の移動形態となる。一方8月調査の場合、-6.0m以深の沖側では「掃流」、-6.0m以浅の岸側では港口と消波堤Eの西端沖が「シートフロー」となる以外は、「浮遊・遷移」による移動形態となる。

また、-9.0m付近の砂移動は、8月および2月の調査において、共に掃流の移動形態であった。

参考文献

- 1) 宇多高明、北上勝彦、山本孝次、河野茂樹：北海道日高沿岸における海浜変形、第38回海講論、PP. 276~280、1991。
- 2) 北海道開発局苦小牧港湾建設事務所：苦小牧港調査報告書、1994, 1995, 1996, 1997, 1998, 1999, 2000。
- 3) 薄木琢嗣、藤間聰、中田満洋：北海道日高沿岸鵡川河口周辺の海浜変形、土木学会第48回年次学術講演会概要集、PP. 896~897、1993。
- 4) 山本徹、吉沢良、黒木幹男、板倉忠興：胆振日高海岸における海浜変形と流域の土砂生産に関する研究、海岸工学論文集、第45巻、PP. 621~625、1998。
- 5) 北海道漁港漁村課：漁港実験年報、第28号、PP. 170、2001。
- 6) 久宝雅史、戸巻昭三：海浜横断面の平衡点について、第28回海講論、PP. 247~250、1981。
- 7) 日本河川協会：流量年表、鵡川流量、1996, 1997, 1998, 1999, 2000, 2001。
- 8) 加藤一正：緩勾配海岸と急勾配海岸の前浜に作用する外力の違い、海岸工学論文集、第40巻、PP. 421~425、1993。
- 9) 田中正博、佐藤慎司、磯部雅、渡辺晃、小林博：2粒径混合砂海浜変形モデルを用いた大型海浜断面実験の再現、海岸工学論文集、第47巻、PP. 591~595、2000。
- 10) 川合紀章、中村信之：苦小牧東港海域の漂砂について、-底質の分布状況からの考察-、第25回北海道開発局技研論文集、PP. 71~80、1982。
- 11) 田中豊、脇本和昌：多変量統計解析法、現代数学社、PP. 229~244、1987。
- 12) 堀川清司編：海岸環境工学、東京大学出版会、PP. 158~159、1985。